

I-7 非保存的弾性安定の直交選点法による解析について

北海道大学 正員 芳村 仁
北海道大学 正員 三上 隆

1. はじめに 本報告は非保存的弾性安定問題の一解析法として直交選点法による解法を述べたものである。

構造物に作用する力は保存力と非保存力に分類される。最近、土木工学の分野でも水や風など流体の影響を受ける構造物が見受けられるようになってきた。流体から受ける力はその作用方向が構造物の変形に従って変化する力で追従力とか吸収力とか呼ばれる非保存力である。したがって、そのような荷重条件下での安定性の検討も重要なと思われる。

非保存的弾性問題に関しては、今日までに数多くの研究が行なわれており、考察している系の運動方程式を確立し Galerkin 法や差分法などによる研究、変分原理に基づく有限要素法による研究などがある。前者の運動方程式を基礎式とする場合、変数分離後の方程式は一般に非自己随伴型の常微分方程式となり通常のエネルギー原理の成立しない領域であるので、その解法は何らかの近似解法に頼らざるを得ない。

本研究は、上記解法と異なる一解析法を提示するとともに、Beck の問題および分布接線吸収力が作用する柱などを解析し、既往の理論値との比較を行い本解析法の有用性の検討を行ったものである。

2. 解析方法 非保存系弾性安定問題の解析は、数学的には、非自己随伴境界値問題の固有値を調べる問題に帰着される。本報告では数值計算の簡易化を計るために特性方程式の固有ベクトルを選点における解の値として表わすことを試みる。

考察している系の運動方程式および境界条件または変数分離後、次式で表されるとする。

$$L(w) = 0 \quad (1)$$

$$B_k(w) = 0 \quad k=1 \sim 4 \quad (2)$$

L , B_k は線形微分演算子であり、 L は最高4階とする。

既行実数は次式を用いる。内部選点数を N とすると

$$w(x) = \sum_{i=1}^{N+4} d_i x^{i-1} \quad (3)$$

内部選点はルジャンドルの多項式 $P_n(x)$ の区间 $[-1, 1]$ を $[0, 1]$ に変換した $P_n^*(x) = P_n(1-2x)$ の根を用いる。

式(3)の選点での値を求める

$$w(x_i) = \sum_{i=1}^{N+4} x_i^{i-1} d_i \quad i=1 \sim N+2 \quad (4)$$

ただし、 $x_1 \sim x_{N+1}$ は内部選点、 $x_0 = 0$ $x_{N+2} = 1.0$

式(4)をマトリックス表示すると

$$\{w\} = [Q_1]\{\bar{d}_1\} + [Q_2]\{\bar{d}_2\} \quad (5)$$

ここで、 $\{w\}^T = \{w(x_1), w(x_2), \dots, w(x_{N+1}), w(x_{N+2})\}$

$$\{\bar{d}_1\}^T = \{d_1, d_2, \dots, d_{N+2}\}, \{\bar{d}_2\}^T = \{d_{N+3}, d_{N+4}\}$$

式(5)を $\{\bar{d}_1\}$ につき解き、式(4)の 1 ~ 4 次微分に代入すると

入すと

$$\{w'\} = [A_1]\{w\} + [A_2]\{\bar{d}_2\} \quad (6)$$

$$\{w''\} = [B_1]\{w\} + [B_2]\{\bar{d}_2\} \quad (7)$$

$$\{w'''\} = [C_1]\{w\} + [C_2]\{\bar{d}_2\} \quad (8)$$

$$\{w''''\} = [D_1]\{w\} + [D_2]\{\bar{d}_2\} \quad (9)$$

ここで、 $\{w\}^T = \{w(x_1), w(x_2), \dots, w(x_{N+2})\}$ であり他も同様である。

($N+4$) 個の条件は次のようになる。まず、 N 個の条件は、 N 個の内部選点での残差より定められる。式(1)と式(6)~(9)より

$$[A_1]\{\bar{w}_1\} + [A_2]\{\bar{w}_2\} - \lambda [I]\{\bar{w}_1\} = 0 \quad (10)$$

$$\text{ここで、} \{\bar{w}_1\}^T = \{w(x_1), w(x_2), \dots, w(x_{N+1})\}$$

$$\{\bar{w}_2\}^T = \{w(x_1), w(x_{N+2}), d_{N+3}, d_{N+4}\}$$

入は振動数パラメータである。

残り 4 個の条件は $x_0 = 0$ と $x_{N+2} = 1$ での境界条件により定められる。式(2)と式(6)~(9)より

$$[A_4]\{\bar{w}_1\} + [A_5]\{\bar{w}_2\} = 0 \quad (11)$$

特性方程式は式(10)と式(11)より次式で表められる。

$$[\alpha] - \lambda [I] [\bar{w}_1] = 0 \quad (12)$$

ただし、 $[\alpha] = [\alpha_1] - [\alpha_2][\alpha_5]^T[\alpha_4]$

特性方程式(12)は選点における解の値を固有ベクトルとするもので、マトリックス $[\alpha]$ は $[A_1] \sim [A_4]$, $[A_2] \sim [A_5]$ と荷重パラメータなどにより構成される。

大きさ($N \times N$)のマトリックス $[I]$ は($N \times N$)の単位マトリックスである。

臨界荷重の決定、安定および不安定の判定は荷重パラメータ β と振動数 ω によって決まる固有値の組 (β, ω) を解く問題となる。すなわち、与えられた β で式 (12) を満たす N 個の ω を求める。このとき、 ω が正の実数から一でも負値をとるとき不安定 (divergence 形不安定)、正値から複素根へと変化すると flutter 形不安定となる。したがって、考察している系の臨界荷重は、 ω が正の実数や負の実数あるいは複素根へと移る最小の荷重パラメータ β を求めることがより得られる。

3. 数値計算例 本手法の精度は、選点法の性質上内部選点数 N に依存することになり、理論的には $N \rightarrow \infty$ の極限において厳密解に近づく。したがって、以下では、数値解の精度および収束性の検討を目的として以下のスケル (Fig-1, Fig-2) の数値計算を行う。

① 一端固定、他端に Subtangential 有圧縮力が作用する柱 (Fig-1) Fig-1 に一様な断面を有し自由端で荷重 P を担う柱を示す。 α は作用荷重 P と鉛直軸とのなす角であり、 β は柱の自由端での接線と鉛直軸とのなす角を表す。 α は荷重の作用方向を特性づけるパラメーターで $0 \leq \alpha \leq 1$ の範囲である。特に $\alpha = 0$ の場合は Euler の問題、 $\alpha = 1$ のときは Beck の問題となる。基礎方程式、境界条件式は次式で表される。

$$\frac{d^4 w}{dx^4} + \beta \frac{d^2 w}{dx^2} - \lambda w = 0, \quad \xi = 0 \text{ で } w = w' = 0, \\ \xi = 1 \text{ で } w'' = 0, w''' = (\alpha - 1)\beta w'' \\ \text{ここで, } \beta = PL^2/EI, \lambda = PL^4\omega^2/EI, \xi = x/L$$

Fig-3 は Beck の問題 ($\alpha = 1$) の臨界荷重の内部選点数による収束状況を示すもので、横軸に内部選点数 N 、縦軸に臨界荷重をとる。図中、白丸の上下に N に対する β の値が併記されている。これによると、収束性は良好で N が 5 以上で厳密値 20.05 と一



Fig-1 Column with subtangential force

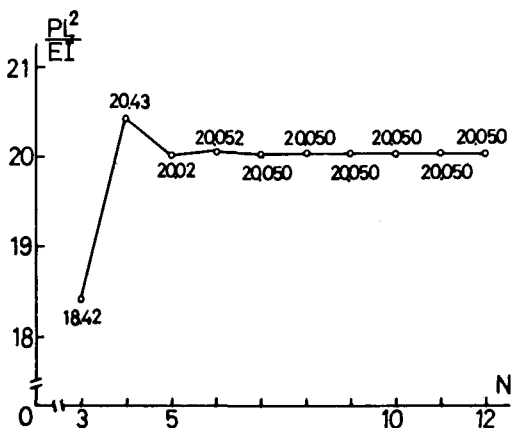


Fig-3 Beck の問題の収束性。

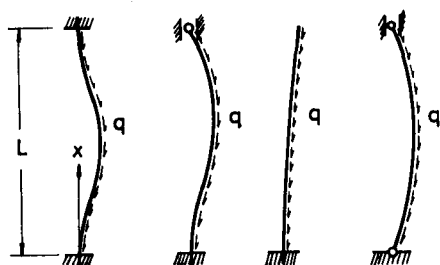


Fig-2 Columns with tangential distributed load
 $q = q_0(L-x)$

Table-1 臨界荷重の数値結果 ($\beta = PL^2/EI$)

α	直交選点法	FEM ⁹⁾	FDM ⁶⁾	厳密解 ³⁾
0	2.4674	2.4674		2.4674
0.1	2.8295	2.830		2.830
0.2	3.3250	3.325		3.325
0.3	4.0550	4.055		4.055
0.4	5.2920	5.293		5.292
0.5	9.869	9.878		9.870
0.6	16.258	16.27		
0.7	16.787	16.80		
0.8	17.589	17.60		
0.9	18.668	18.68		
1.0	20.050	20.07	20.05	20.05

致している。

Table-1は本解析法による理論値と既往の理論値を種々の荷重作用方向パラメータ α の値について比較したものである。本法は内部節点数 $N=10$ による結果である。FEM(有限要素法)は薄板による変位次数として3次多項式を用い分割数=5による結果、FDM(差分法)は杉山らによる100分割でのBec & Kの問題に対する結果である。表よりわかるように、本解析法による計算値は既往研究結果と十分よく一致しており、本法の有効性を知ることができよう。

Fig-4と5にパラメータ α を $0 \leq \alpha \leq 1$ で連続的に変化させたさいの固有値曲線を示す。Fig-4は $0 \leq \alpha \leq 0.4$ での固有値曲線であり、Fig-5は $0.5 \leq \alpha \leq 1.0$ でのそれである。図中、白丸○はdivergence形臨界点、黒丸●はflutter形臨界点である。同図より、 $0 \leq \alpha \leq 0.4$ で固有値曲線はほぼ直線変化を示し、 $0 \leq \alpha \leq 0.5$ でdivergence形、 $0.5 < \alpha \leq 1.0$ でflutter形の現象で不安定となることが理解できる。また、この計算例のEulerの方法(静力学的つまり法)による特性方程式は $\cos kL = \alpha / (\alpha - 1)$ 、したがって $k^2 = P/EI$ となる。この特性方程式が実根を持つ α の範囲は $0 \leq \alpha \leq 0.5$ であり、この点についても、本手法の数値結果を確かめられた。

② 分布接線方向従動力が作用する柱(Fig-2).

この数値計算例はFig-1に示す断面一定の柱に接線方向従動力が $P = p_0(L-x)$ と直線変化する場合である。境界条件は固定一固定(C-C)、固定一支持(C-S)、固定一自由(C-F)および両端支持(S-S)である。

基礎方程式および境界条件式は次式で与えられる。

$$\frac{d^4 w}{dx^4} + \frac{\beta}{x} (1-\xi)^2 \frac{d^2 w}{dx^2} - \lambda w = 0$$

ただし、 $\beta = p_0 L^4 / EI$ 、 $\lambda = p_0 L^4 \omega^2 / EI$ 、 $\xi = x/L$

境界条件式は、固定で $w = w' = 0$

支持で $w = w'' = 0$

自由で $w'' = w''' = 0$ である。

Fig-6は、各種境界条件について内部節点数 N による臨界荷重($p_0 L^4 / EI$)の収束状態を示したものである。図中、白丸○はdivergence形臨界荷重、黒丸●はflutter形臨界荷重である。内部節点数が少ないときは境界条件、C-CおよびC-Sで収束値と異なる不安定現象で臨界荷重が決まっているが内部節点数が6ないし7以上になると

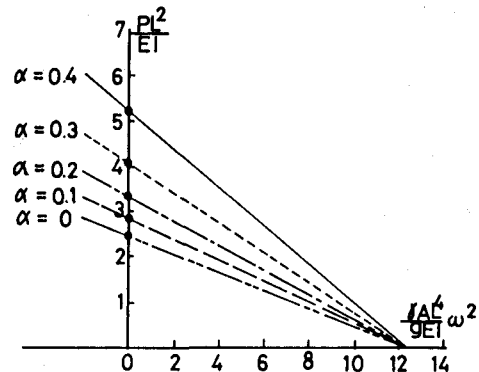


Fig-4 固有値曲線 ($0 \leq \alpha \leq 0.4$)

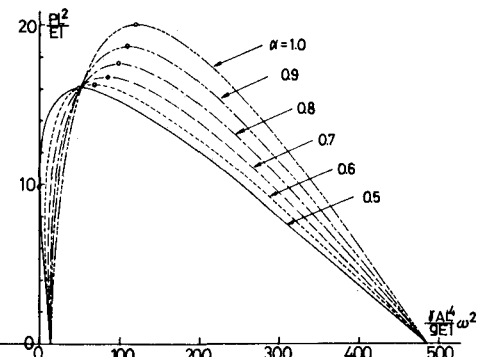


Fig-5 固有値曲線 ($0.5 \leq \alpha \leq 1.0$)

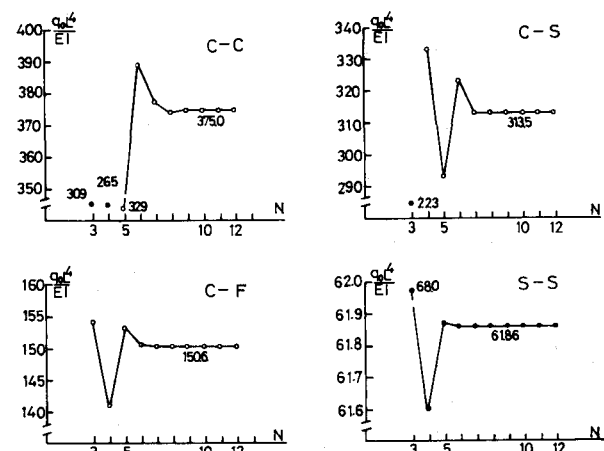


Fig-6 分布接線方向従動力を担う柱の収束性

ると各境界条件とも一定値に収束している。

Fig-7は内部選点数N=10での4つの境界条件に対する固有値曲線である。両端支持(S-S)でdivergence形不安定、他の境界条件はflutter形不安定である。

Table-2は本手法による理論値と既往の理論値との数値的比較を示したもので、本法は内部選点数N=10、差分法は杉山らによる分割数100での結果である。又、ガーラキン法はHaugerらによる理論値で、境界条件C-CとC-Sは4項近似¹⁵⁾、他の境界条件は又項近似による値である。本解析法による理論値は他の解法による理論値と十分よく一致している。

4. まとめ

柱の非保存的弹性安定問題の一解析法として直交選点法による解法を提示し、収束性、精度の検討を行った結果、その有用性が確かめられた。

得られたおもな結果を要約すると次のとおりである。

① 特性方程式の固有ベクトルを選点での解の値で表わすことにより数値計算の簡易化が計られた。考察している系の基礎方程式と境界条件式が与えられれば、式(6)～(9)のマトリックス $[A_1] \sim [A_4]$ および $[A_2] \sim [A_4]$ を用いることにより容易に特性方程式が得られる。

② ケルビン内部選点数で十分正確な臨界荷重の算定が可能である。

参考文献

- 1) Bolotin, V. V. "Nonconservative Problems of the Theory of Elastic stability" Pergamon Press, N.Y., 1963.
- 2) Leipholz, H. "Stability Theory" Academic Press, N.Y., 1970.
- 3) Leipholz, H. "Über die Befreiung der Ansatzfunktionen des Ritzschen und Galerkinschen Verfahrens von den Randbedingungen" Ingenieur-Archiv, Vol.36, pp. 251～281, 1967.
- 4) Hauger, W. "Die Knicklasten elastischen Stäbe unter gleichmäßig verteilten und linear veränderlichen tangential Drückkräften" Ingenieur-Archiv, 35, pp. 221～229, 1966.
- 5) Hauger, W. und Leonhard, M. "Untersuchung zur Genauigkeit des Galerkinschen Verfahrens anhand exakter Knicklasten elastischer Stäbe unter nichtkonservativer Belastung" Der Stahlbau, H. 6, pp. 169～174, 1978.
- 6) 杉山吉彦他 "差分法による柱の非保存的不安定の研究" 日本機械学会論文集, 37巻, 295号, pp.455～461, 1977.
- 7) Mote, C.D.Jr., "Nonconservative Stability by Finite Element" ASCE, Vol.97, No.EM3, pp.645～656, 1971.
- 8) Parousou, R.S. "Finite element method applied to the problem of a non-conservative system" Int. J. Num. Meth. Engng, vol. 3, pp. 63～87, 1971.
- 9) Kikuchi, F. "Finite element method for non-self-adjoint Problems", Int. J. Num. Meth. Engng, vol. 6, pp.39～54, 1973.
- 10) 会田忠義他 "変形法による骨組構造物の非保存的弹性安定解析" 土木学会論文報告集, No.263, pp.55～34, 1977.
- 11) Finlayson, B.A. "The Method of Weighted Residual and Variational Principles" Academic Press, N.Y., 1972

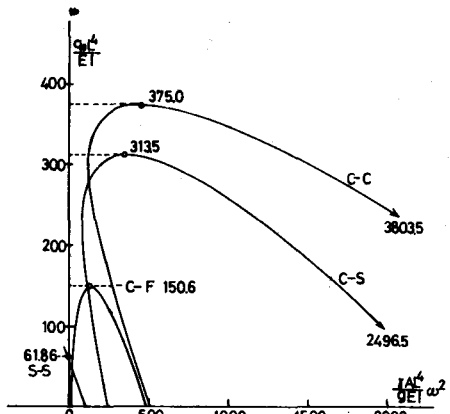


Fig-7 分布荷重方向と軸荷重を組む柱の固有値曲線 (N=10)

Table-2 臨界荷重の数値結果 ($B^2 = 80L^4/EI$)

境界条件	直交選点法	差分法	ガーラキン法
C-C	375.0	375.0	371.0
C-S	313.5	313.3	314.5
C-F	150.6	150.6	158.2
S-S	61.86	61.86	62.28